

А. С. Ильинский¹, И. С. Полянский², Д. Е. Степанов³,
**РЕШЕНИЕ ЗАДАЧ ДИФРАКЦИИ
ЭЛЕКТРОМАГНИТНЫХ ВОЛН НА ЭКРАНАХ
ПРОИЗВОЛЬНОЙ ФОРМЫ БАРИЦЕНТРИЧЕСКИМ
МЕТОДОМ**

Введение

Значительная часть исследований в области электродинамики посвящена решению трехмерных задач дифракции электромагнитных волн на проводящих тонких экранах [1–5 и др.]. В настоящее время известен ряд асимптотических [2, 3, 6 и др.] и численных [4, 5, 7 и др.] методов моделирования подобных дифракционных процессов. Достоинство асимптотических методов состоит в невысоких вычислительных и емкостных затратах, недостаток – относительно низкая универсальность в решении задач дифракции на экранах произвольной формы и, в ряде случаев, сравнительно невысокая точность. Численные методы, с учетом стремительного развития средств вычислительной техники, позволяют нивелировать недостатки асимптотических. Как правило, основу современных численных методов составляют проекционные методы – метод Б. Г. Галёркина и его модификации. Основным этапом эффективного применения проекционных методов состоит в формировании набора базисных функций, которые должны удовлетворять граничным условиям и образовывать полную систему. Большинство исследований [4, 5, 7, 18, 20 и др.] предполагает составление базисных функций с использованием сеточной аппроксимации искомой на поверхности экрана плотности тока. Недостаток подобного решения состоит в низкой вычислительной эффективности реализуемой численной схемы. Выбор сеточной аппроксимации приводит к системам линейных уравнений высокого порядка. С целью повышения эффективности приближенного метода в работах [8–12] для численного решения различных типов задач электродинамики [8, 10–12] и частной задачи теории упругости [9]

¹Профессор кафедры математической физики факультета ВМК МГУ имени М. В. Ломоносова, e-mail: celd@cs.msu.ru.

²Сотрудник Академии ФСО России, e-mail: van341@mail.ru.

³Сотрудник Академии ФСО России, e-mail: stepbystep000@ya.ru.

предложен барицентрический метод (БМ). Его преимущество заключается в формировании глобальной системы базисных функций (без разбиения области анализа на элементарные подобласти). Основное допущение БМ состоит в том, что граница области анализа является кусочно-линейной.

Цель настоящей статьи заключается в расширении применимости БМ и уточнении особенностей его реализации в численном решении задач дифракции электромагнитных волн на экранах произвольной формы.

Постановка задачи

Введем обозначение \mathcal{M} — замкнутая связная ориентированная поверхность в \mathbb{R}^3 класса C^∞ . Пусть $\bar{S} \subset \mathcal{M}$ — подмногообразие с краем многообразия \mathcal{M} , не обязательно связное, с конечным числом компонент связности, каждая из которых имеет размерность два [1]; ∂S — кусочно-линейная кривая без точек самопересечения. Тогда согласно [1, 5] постановка задачи дифракции стороннего монохроматического электромагнитного поля E^0, H^0 на бесконечно тонком идеально проводящем экране произвольной формы $S = \bar{S} \setminus \partial S$ в среде с постоянными электромагнитными параметрами (ε — диэлектрическая проницаемость, μ — магнитная проницаемость, σ — удельная проводимость) сводится к определению рассеянного электромагнитного поля

$$E, H \in C^2(\mathbb{R}^3 \setminus \bar{S}) \cap C(\overline{\mathcal{M}_+} \setminus \partial S_\delta) \cap C(\overline{\mathcal{M}_-} \setminus \partial S_\delta), \quad (1)$$

удовлетворяющего [1]

$$\nabla \times H = -i\beta E, \quad (2a)$$

$$\nabla \times E = i\beta H, \quad x \in \mathbb{R}^3 \setminus \bar{S};$$

$$E_\tau|_S = E_\tau^0|_S; \quad (2б)$$

$$E_\tau^0|_S \in C^\infty(\bar{S}); \quad E, H \in L_{loc}^2(\mathbb{R}^3); \quad (2в)$$

$$E, H = o(r^{-1}), \quad r := |x| \rightarrow \infty \text{ при } \text{Im}\beta > 0;$$

$$H \times e_r - E = o(r^{-1}), \quad E \times e_r + H = o(r^{-1}), \quad (2г)$$

$$E, H = O(r^{-1}), \quad r \rightarrow \infty \text{ при } \text{Im}\beta = 0,$$

где \mathcal{M}_+ и \mathcal{M}_- — внешность и внутренность поверхности \mathcal{M} соответственно; $e_r = x/|x|$; $\beta^2 = \omega^2 \mu [\varepsilon + i\sigma \omega^{-1}]$, $\text{Im}\beta \geq 0$, $\beta \neq 0$; $S_\delta = \{x : |x - y| < \delta, y \in S\}$; $\delta > 0$; индекс τ обозначает тангенциальную составляющую поля на S .

Доказательство существования и единственности решения задачи (1), (2) известно из [1], которая при представлении рассеянных полей E, H векторным потенциалом сводится к интегро-дифференциальному уравнению вида:

$$\mathcal{L}u = f, \quad (3)$$

где $\mathcal{L}u = \nabla \mathcal{A} (\nabla \cdot u) + \beta^2 \mathcal{A}u$; $f = i\beta E_\tau^0|_S$; u имеет смысл плотности тока на S ; \mathcal{A} — интегральный оператор

$$\mathcal{A}u = \frac{1}{4\pi} \int_S \frac{e^{i\beta|x-y|}}{|x-y|} u(y) dy, \quad x \in S. \quad (4)$$

Решение интегрального уравнения (3) предлагается определять численно в проекционной постановки метода Галёркина при разложении неизвестной функции u по базису [15, с. 279]:

$$u^{\mathcal{M}}(x) = \sum_{j=0}^{\mathcal{M}} c_j \psi_j(x) \quad (5)$$

с последующим сведением (3) к системе уравнений относительно неопределенных коэффициентов разложения c_j ($j = \overline{0, \mathcal{M}}$) при выдвигении требования ортогональности невязки

$\mathcal{N}(x) = \mathcal{L} \left[\sum_{j=0}^{\mathcal{M}} c_j \psi_j(x) \right] - f(x)$ к базисным функциям $\psi_i(x)$:

$$\int_S \mathcal{N}(x) \psi_j(x) dx = 0. \quad (6)$$

Эффективность решения (3) существенным образом зависит от рациональности выбора набора $\psi_j(x)$ для S , которые удовлетворяют граничным условиям u вблизи ∂S [13, с. 54]. Для ее количественной оценки по аналогии с [1] определим пространство Соболева $H^s(\mathcal{M})$ как пополнение $C^\infty(\mathcal{M})$ по норме $\|\cdot\|_s$, положив для любого $s \in \mathbb{R}$:

$$H^s(S) := \{u|_S : u \in H^s(\mathcal{M})\};$$

$$\tilde{H}^s(\bar{S}) := \{u \in H^s(\mathcal{M}) : \text{supp} u \subset \bar{S}\},$$

где $\tilde{H}^s(S)$ получается замыканием $C_0^\infty(S)$ по норме $\|\cdot\|_s$.

Также в соответствии с [1] определим гильбертово пространство $W = W(\bar{S}) := \{u \in \tilde{H}^{-1/2}(\bar{S}) : \nabla \cdot u \in \tilde{H}^{-1/2}(\bar{S})\}$ как пополнение $C_0^\infty(S)$ по норме $\|\cdot\|_W$:

$$\|u\|_W^2 = \|u\|_{-1/2}^2 + \|\nabla \cdot u\|_{-1/2}^2,$$

со скалярным произведением

$$(u, v)_W = (u, v)_{-1/2} + (\nabla \cdot u, \nabla \cdot v)_{-1/2} =$$

$$= \int_{\mathbb{R}_2} \langle \xi \rangle^{-1} \hat{u}(\xi) \cdot \overline{\hat{v}(\xi)} d\xi + \int_{\mathbb{R}_2} \langle \xi \rangle^{-1} (\xi \cdot \hat{u}(\xi)) (\xi \cdot \overline{\hat{v}(\xi)}) d\xi,$$

где $\langle \xi \rangle := \sqrt{1 + |\xi|^2}$; $|\xi|^2 = \xi_1^2 + \xi_2^2$; $\xi \in \mathbb{R}^2$; \hat{u} — преобразование Фурье распределения u [20].

Приняв обозначение $W' = (W(\bar{S}))'$ — аддитивное к W пространство, имеем [1]:

$$W' = \left\{ f|_S : f \in \tilde{H}^{-1/2}(\mathcal{M}), \nabla_\tau \times f \in \tilde{H}^{-1/2}(\mathcal{M}) \right\},$$

где $f = i\beta E_\tau^0|_S$ из (3) ($\mathcal{L} : W \rightarrow W'$); ∇_τ — операция «поверхностного ротора» [18].

Порядок выбора набора базисных функций

Рациональность выбора набора базисных функций в методе Галёркина сводится к заданию глобальной [16, с. 98] для S полной системы базисных функций $\psi_j(x) \in C(S)$. При решении задачи дифракции на проводящих тонких экранах барицентрическим методом [11] формирование $\psi_j(x)$ выполняется при определении следующих представлений.

Пусть граница ∂S экрана лежит в плоскости $x_3 = 0$, ∂S — замкнутая несамопересекающаяся ломаная линия, которая ограничивает область Ω , являющейся проекцией экрана S на плоскость $x_3 = 0$. Либо S — плоский экран в плоскости $x_3 = 0$. Выбор базиса происходит на плоскости.

Введем параметризацию $\partial S = \partial\Omega = \bigcup_{n=0}^{N-1} \Gamma_n$, $\Gamma_n = \{e_n t + P_n, t \in [0, 1]\}$, $e_n = P_{n+1 \bmod N} - P_n$, $\{P_0, P_1, \dots, P_{N-1}\}$ — множество неповторяющихся вершин Ω ($P_n = (x_1^n, x_2^n)$). Для точки $\{x_1, x_2, 0\} \in \Omega$ кривизна экрана S характеризуется орт-вектором нормали $\nu^0(x)$ в $x \in S$. Для Ω определим барицентрические координаты (БК) ζ_n .

Определение 1. Барицентрическими координатами ζ_n назовем набор $\vec{\zeta} = (\zeta_n)_N$ функций $\zeta_n(x) \in [0, 1]$ ($x \in \Omega$), которые удовлетворяют условиям

$$\begin{aligned} \Delta \zeta_n(x) &= 0, \quad x \in \Omega; \\ \zeta_n(x) &= t, \quad x \in \Gamma_{n-1}; \quad \zeta_n(x) = 1 - t, \quad x \in \Gamma_n; \\ \zeta_n(x) &= 0, \quad x \in \partial\Omega \setminus \{\Gamma_{n-1}, \Gamma_n\}. \end{aligned} \quad (7)$$

Решение задачи (7) предложено в [14] и при построении Ω на \mathbb{C} состоит в задании ζ_n приближенно-аналитическим соотношением

$$\tilde{\zeta}_n^K(x) = \frac{-1}{\pi} \sum_{n'=0}^{N-1} \sum_{k=0}^K \sqrt{2k+1} \operatorname{Im} \left[Q_k \left(2 \frac{x - P_{n'}}{e_{n'}} - 1 \right) \right] X_{n'k}^n, \quad (8)$$

обладающим полиномиальной скоростью сходимости вблизи угловых точек P_n

$$\begin{aligned} & \left\| \zeta_n(x) - \tilde{\zeta}_n^K(x) \right\|_C \leq \\ & \leq \operatorname{const} \max_{n'=0, N-1} \left\{ \frac{2\varpi_{n'}^{-1} |e_{n'}|^2 (4\pi - \alpha_{n'})}{|P_{n'}| |e_{n'}|^2 - e_{n'} \operatorname{Re}(e_{n'} \overline{P_{n'}})} \right\} \left(\frac{1}{K+0,5} + \frac{1}{K+1,5} \right) \end{aligned} \quad (9)$$

и экспоненциальной во всей области анализа в среднем

$$\left\| \zeta_n(x) - \tilde{\zeta}_n^K(x) \right\|_{L_2} \leq \frac{\operatorname{const} K 2^{-K}}{(2K+1) \sqrt{2K+3}}. \quad (10)$$

В выражениях (8)–(10) приняты следующие обозначения: const — независящая от K постоянная; $\varpi_{n'} = \min \left\{ \Theta_{n'}, \pi (\pi + |\pi - \alpha_{n'}|)^{-1} \right\}$;

$\Theta_{n'} = \begin{cases} |\sin \alpha_{n'}|, & \alpha_{n'} \in (0, \pi/2) \cup (3\pi/2, 2\pi), \\ 1, & \alpha_{n'} \in [\pi/2, \pi) \cup (\pi, 3\pi/2]. \end{cases}$; $\alpha_{n'}$ — внутренний угол Ω

при вершине $P_{n'}$; $\vec{X}^n = (\mathbf{E} + \mathbf{T})^{-1} \vec{U}^n$ — блочный вектор размера $\tilde{N} = N(K + 1)$, составленный из элементов $X_{n'k}^n$; \mathbf{E} — единичная матрица размера $\tilde{N} \times \tilde{N}$; \vec{U}^n — блочный вектор размера \tilde{N} , составленный из элементов

$$U_{n'k}^n = \begin{cases} 1, & (n = n' \vee n = n' - 1) \wedge k = 0, \\ -1/3, & n = n' \wedge k = 1, \\ 1/3, & n = n' - 1 \wedge k = 1, \\ 0, & \text{otherwise;} \end{cases}$$

\mathbf{T} — блочная матрица размера $\tilde{N} \times \tilde{N}$, состоящая из элементов

$$T_{kk'}^{nn'} = \frac{-1}{\pi} \int_{-1}^1 \text{Im} \left[Q_{k'} \left(\frac{e_n}{e_{n'}} \tau + \frac{e_n + 2(P_n - P_{n'})}{e_{n'}} - 1 \right) \right] L_k(\tau) d\tau, \quad (11)$$

где $L_k(\tau)$ и $Q_k(z)$ — многочлены Лежандра первого и второго рода соответственно [17]:

$$\begin{aligned} L_0(\tau) &= 1; L_1(\tau) = \tau; L_k(\tau) = \frac{2k-1}{k} \tau L_{k-1}(\tau) - \frac{k-1}{k} L_{k-2}(\tau); \\ Q_0(z) &= \text{arcth}(z); Q_1(z) = z \text{arcth}(z) - 1; \\ Q_k(z) &= \frac{2k-1}{k} z Q_{k-1}(z) - \frac{k-1}{k} Q_{k-2}(z), \quad \tau \in [-1, 1]; z \in \mathbb{C}. \end{aligned}$$

Интеграл (11) может быть вычислен аналитически по правилам, представленным в [12, 14], или численно по квадратурному методу Гаусса—Лежандра.

Введем множество мультииндексов [8]:

$$\tilde{\mathbb{M}}_p = \left\{ \tilde{j} = (\tilde{j}_0, \tilde{j}_1, \dots, \tilde{j}_n, \dots, \tilde{j}_{N-1}) : \tilde{j}_n \in \mathbb{Z}_+, \sum_{n \in [0; N-1]} \tilde{j}_n = p \right\},$$

где $p \in \mathbb{N}$; $\|\tilde{\mathbb{M}}_p\| = \binom{N+p-1}{N-1} = \binom{N+p-1}{p}$; $\mathbb{Z}_+ = \mathbb{N} \cup \{0\}$.

По аналогии с [27] определим дискретное множество точек $x^{\tilde{j}} \in \tilde{\mathbb{X}}_p$, $x^{\tilde{j}} = \sum_{n=0}^{N-1} \zeta_n^{\tilde{j}} P_n$; $\zeta_n^{\tilde{j}} = \frac{\tilde{j}_n}{p}$ — \tilde{j} -е узловые точки интерполяции. Обозначим подмножество $\bar{\mathbb{X}}_p \subset \tilde{\mathbb{X}}_p$, для любых элементов которого выполняются условия $x^{\bar{j}} \in \bar{\Omega}$ и $x^{\bar{j}} \neq x^{\bar{j}'}$ при $\bar{j} \neq \bar{j}'$, где $\bar{j}, \bar{j}' \in \bar{\mathbb{M}}_p$; $\bar{\mathbb{M}}_p \subset \tilde{\mathbb{M}}_p$. Также введем в рассмотрение подмножество $\mathbb{X}_p \subset \bar{\mathbb{X}}_p$, элементы $x^j \in \mathbb{X}_p$ которого $x^j \notin \partial\Omega$, где $j \in \mathbb{M}_p$; $\mathbb{M}_p \subset \bar{\mathbb{M}}_p$.

Учитывая заданные представления, базис для (5) сформируем из двух типов функций $\psi_j^h(x)$, $\psi_j^e(x)$ ($\bar{j} \in \bar{\mathbb{M}}_p$, $j \in \mathbb{M}_p$):

$$\begin{aligned} \psi_j^h(x) &= -v^0(x) \times \sum_{\bar{j}' \in \bar{\mathbb{M}}_p} a_{\bar{j}\bar{j}'}^h \nabla'_2 \phi_{\bar{j}'}(x); \\ \psi_j^e(x) &= v^0(x) \times \sum_{j' \in \mathbb{M}_p} a_{jj'}^e \nabla_2 \phi_{j'}(x), \end{aligned} \quad (12)$$

где $\nabla'_2 = \left\{ -\frac{\partial}{\partial x_2}, \frac{\partial}{\partial x_1}, 0 \right\}$; $\nabla_2 = \left\{ \frac{\partial}{\partial x_1}, \frac{\partial}{\partial x_2}, 0 \right\}$; $\varphi_{\bar{j}'}(x) = p! \prod_{n=0}^{N-1} \frac{[\zeta_n(x)]^{\bar{j}'_n}}{\bar{j}'_n!}$; $a_{\bar{j}\bar{j}'}^h$ – \bar{j}' -е элементы \bar{j} -го собственного вектора матрицы $\mathbf{A}^h = [\mathbf{B}^h]^{-1} \mathbf{C}^h$ при $\mathbf{B}^h = \left(B_{\bar{j}\bar{j}'}^h \right)_{|\overline{\mathbb{M}}_p| \times |\overline{\mathbb{M}}_p|}$, $\mathbf{C}^h = \left(C_{\bar{j}\bar{j}'}^h \right)_{|\overline{\mathbb{M}}_p| \times |\overline{\mathbb{M}}_p|}$ для $B_{\bar{j}\bar{j}'}^h = \int_{\Omega} \varphi_{\bar{j}}(x) \varphi_{\bar{j}'}(x) dx$, $C_{\bar{j}\bar{j}'}^h = -\int_{\Omega} \nabla \varphi_{\bar{j}}(x) \nabla \varphi_{\bar{j}'}(x) dx$; $a_{j j'}^e$ – j' -е элементы j -го собственного вектора матрицы $\mathbf{A}^e = [\mathbf{B}^e]^{-1} \mathbf{C}^e$ при $\mathbf{B}^e = \left(B_{j j'}^e \right)_{|\mathbb{M}_p| \times |\mathbb{M}_p|}$, $\mathbf{C}^e = \left(C_{j j'}^e \right)_{|\mathbb{M}_p| \times |\mathbb{M}_p|}$ для $B_{j j'}^e = \int_{\Omega} \varphi_j(x) \varphi_{j'}(x) dx$, $C_{j j'}^e = -\int_{\Omega} \nabla \varphi_j(x) \nabla \varphi_{j'}(x) dx$. Здесь и далее предполагается, что нумерация j -х (\bar{j} -х) собственных векторов выполняется в порядке возрастания соответствующих им собственных чисел матриц $\mathbf{A}^{(h,e)}$.

Существование и единственность решения и оценка сходимости барицентрического метода

При определении базисных функций по правилам (12) и принимая обозначения $\overline{\mathcal{M}} = \|\overline{\mathbb{M}}_p\|$; $\mathcal{M} = \|\mathbb{M}_p\|$; $W_{\mathcal{M}} = \text{span} \left\{ \psi_1^h, \dots, \psi_{\overline{\mathcal{M}}}^h, \psi_1^e, \dots, \psi_{\mathcal{M}}^e \right\}$; $f = i\beta E_{\tau}^0|_S$, сформулируем следующее утверждение.

Теорема 1. Пусть

$$u^{\mathcal{M}}(x) = \sum_{\bar{j} \in \overline{\mathbb{M}}_p} c_{\bar{j}}^h \psi_{\bar{j}}^h(x) + \sum_{j \in \mathbb{M}_p} c_j^e \psi_j^e(x), \quad (13)$$

тогда метод Галёркина для уравнения электрического поля (3) сходится и справедлива оценка

$$\left\| u^{\mathcal{M}} - u \right\|_W \leq C_2 \left(\frac{C_1 h}{\sqrt{p-1}} + \frac{1}{p} \right), \quad (14)$$

где C_1, C_2 – независимые от p положительные постоянные; $h = \frac{1}{2} \max_{n_1, n_2 \in [0; N-1]} |P_{n_1} - P_{n_2}|$.

Доказательство. С учетом заданных правил построения S и характеристики его кривизны через $v^0(x)$ для (12) справедливо перейти к решению задачи дифракции на плоском экране ($\Omega = S$), при этом

$$\psi_{\bar{j}}^h(x) = \sum_{\bar{j}' \in \overline{\mathbb{M}}_p} a_{\bar{j}\bar{j}'}^h \nabla_2 \varphi_{\bar{j}'}(x); \quad \psi_j^e(x) = \sum_{j' \in \mathbb{M}_p} a_{j j'}^e \nabla'_2 \varphi_{j'}(x). \quad (15)$$

Известно, что оператор \mathcal{L} является инъективным и эллиптическим на подпространствах для $\text{Im}\beta \geq 0$, $\beta \neq 0$. Последнее в соответствии с [18] устанавливает сходимость метода Галеркина для оператора \mathcal{L} в (3) задачи (1), (2). Тогда для существования и единственности решения (13) достаточно показать для $\forall \delta > 0$, $\exists \mathcal{M}_{\delta} \in \mathbb{N} : \forall \mathcal{M} \geq \mathcal{M}_{\delta}$, $\forall x \in \Omega$

выполнение неравенства

$$|u^{\mathcal{M}} - u| < \delta \quad (16)$$

при соблюдении для $\psi_j^h(x)$, $\psi_j^e(x)$ условий вблизи $\partial\Omega$ [13, с. 54].

Справедливость выполнения граничных условий для $\psi_j^h(x)$ и $\psi_j^e(x)$ с учетом того, что всякое поле (в рассматриваемом случае магнитное) можно представить при помощи двух скалярных функций (магнитной φ^h и электрической φ^e функций Боргиса [28]), следует из правила определения коэффициентов $a_{jj'}^h$ и $a_{jj'}^e$. Они формируются при решении соответствующих задач Неймана и Дирихле для однородного уравнения Гельмгольца:

$$\begin{cases} \Delta\varphi^h + \chi\varphi^h = 0; \\ \frac{\partial\varphi^h}{\partial\zeta}\Big|_{\partial\Omega} = 0; \end{cases} \quad (17)$$

$$\begin{cases} \Delta\varphi^e + \chi\varphi^e = 0; \\ \varphi^e|_{\partial\Omega} = 0, \end{cases} \quad (18)$$

где ζ обозначает внешнюю единичную нормаль к $\partial\Omega$.

Следуя обозначениям (12) решение (17) и (18) выполняется БМ [8, 27] при определении приближений $\bar{\varphi}_j^h = \sum_{j' \in \overline{\mathbb{M}}_p} a_{jj'}^h \varphi_{j'}^h(x)$, $\bar{\varphi}_j^e = \sum_{j' \in \mathbb{M}_p} a_{jj'}^e \varphi_{j'}^e(x)$ соответствующих собственных функций φ_j^h , φ_j^e . В этом случае с применением первой теоремы Грина (17), (18) в проекционной постановке сводятся к известной задаче на собственные числа и собственные векторы матриц \mathbf{A}^h , \mathbf{A}^e . Доказательства сходимости БМ в решении задач Неймана и Дирихле для уравнения Гельмгольца в \mathbb{R}^2 известны из [27].

Определим $\chi_j^{(h,e)}$ — собственные значения задач (17), (18). Здесь и далее обозначая собственные значения $\chi_j^{(h,e)}$ и функции $\varphi_j^{(h,e)}$ будем полагать, что для магнитной составляющей $j \in \overline{\mathbb{M}}_p$, а для электрической $j \in \mathbb{M}_p$. Принимая во внимание результаты теорем 2 и 3 из [27], модифицированную оценку теоремы 1 из [29, с. 412], которая справедлива для самосопряженного оператора, оценку леммы 1 из [30], для j -х собственных функций (17), (18) установим справедливость неравенства

$$\left\| \bar{\varphi}_j^{(h,e)} - \varphi_j^{(h,e)} \right\|_C \leq A_1 \chi_j^{(h,e)} \left(\frac{C_1 h}{\sqrt{p-1}} + \frac{1}{p} \right), \quad (19)$$

где A_1 — некоторая констант, независящая от p .

Из [31, с. 86] известно, что $\chi_j^{(h,e)} \leq \bar{\chi}_j^{(h,e)}$, где $\bar{\chi}_j^{(h,e)}$ — собственные значения, соответствующие приближенным решениям $\bar{\varphi}_j^{(h,e)}$ задач (17), (18). Учитывая последнее, окончательно получим

$$\left\| \bar{\varphi}_j^{(h,e)} - \varphi_j^{(h,e)} \right\|_C \leq A_1 \bar{\chi}_j^{(h,e)} \left(\frac{C_1 h}{\sqrt{p-1}} + \frac{1}{p} \right). \quad (20)$$

Основываясь на результатах [19, 27], определим оценку

$$\left\| u - u^{\mathcal{M}} \right\|_C \leq \delta_0 (1 + \|\mathcal{P}_{\mathcal{M}}\|_C) \inf_{f^{\mathcal{M}} \in W_{\mathcal{M}}} \left| f - f^{\mathcal{M}} \right|, \quad (21)$$

где $\mathcal{P}_{\mathcal{M}}$ – проекционный оператор; $W_{\mathcal{M}} \subset W$; δ_0 – независящая от \mathcal{M} константа; $f^{\mathcal{M}}(x) = \sum_{\bar{j} \in \bar{\mathbb{M}}_p} f_{\bar{j}}^h \bar{\psi}_{\bar{j}}^h(x) + \sum_{j \in \mathbb{M}_p} f_j^e \bar{\psi}_j^e(x)$ – наилучшее приближение функции $f(x)$ коэффициентами $f_j^{(h,e)} = \frac{1}{\bar{\chi}_j^{(h,e)}} \int_{\Omega} \bar{\psi}_j^{(h,e)}(x) f(x) dx$.

Поскольку вложение $L_s(\bar{S}) \subset \tilde{H}^{-1/2}$ непрерывно при $4/3 < s < 2$ [20, 21], то $\|v\|_{-1/2} \leq C \|v\|_s$, где $v \in L_s(S)$. Если $v \in C(\bar{S})$, то $\|v\|_s \leq \text{mes}^{1/s} S \|v\|_C$. Отсюда в соответствии с [18] для u справедливо

$$\|u\|_W \leq C_0 \max(\|u_1\|_C, \|u_2\|_C, \|\nabla \cdot u\|_C),$$

где $C_0 := C\sqrt{3}\text{mes}^{1/s}S$.

Из определения собственных значений и функций для (17), (18) справедливо тождество $\Delta \varphi_j^{(h,e)} = (\chi_j^{(e,h)} - 1) \varphi_j^{(h,e)}$, из которого с учетом (15) следует

$$\nabla \cdot \psi_j^h(x) = \sum_{\bar{j} \in \bar{\mathbb{M}}_p} a_{\bar{j}j}^h (\chi_j^h - 1) \varphi_{\bar{j}}(x); \quad \nabla \cdot \psi_j^e(x) = 0. \quad (22)$$

Опираясь на результаты лемм 1 и 2 из [27], теоремы 2 из [29], теоремы 2 из [28], оценку (20), определение f (см. пп. 2, выражение (2в)) и соотношений (21), (22) получим

$$\left\| f - f^{\mathcal{M}} \right\|_W \leq C_0 A_1 \max_{\substack{|m|=l, l \in [1;2] \\ k \in [1;2]}} \sup_{x \in \bar{S}} \left| D_m^l f k \right| \left(\frac{C_1 h}{\sqrt{p-1}} + \frac{1}{p} \right), \quad (23)$$

где $m = \{m_1, m_2\}$ – мультииндекс; $D_m^l = \frac{\partial^l}{\partial x_1^{m_1} \partial x_2^{m_2}}$.

Неравенство (23) для (13) с учетом (21) устанавливает сходимость метода Галёркина для уравнения электрического поля (3).

При определении $C_2 := \tilde{C}_0 C_0 A_1 \max_{\substack{|m|=l, l \in [1;2] \\ k \in [1;2]}} \sup_{x \in \bar{S}} \left| D_m^l f k \right|$, учитывая

(21)–(23) и следуя [22, с. 192], получим

$$\left\| u^{\mathcal{M}} - u \right\|_W \leq \tilde{C}_0 \inf_{\gamma \in W_{\mathcal{M}}} \|\gamma - u\|_W \leq C_2 \left(\frac{C_1 h}{\sqrt{p-1}} + \frac{1}{p} \right), \quad (24)$$

оценку сходимости, соответствующую (14). Теорема 1 доказана. \square

Особенности алгоритмической реализации барицентрического метода и тестовые примеры

Установленное правило задания базисных функций в барицентрическом методе с учетом известных свойств дифференциальных операторов и преобразований из [1, с. 105–107] в

проекционной постановке метода Галёркина сводит задачу (3) к формированию системы линейных алгебраических уравнений ($\bar{j} \in \overline{M}_p$, $j \in M_p$):

$$\begin{aligned} \sum_{\bar{j}' \in \overline{M}_p} c_{\bar{j}'}^h \left({}^1 G_{\bar{j}\bar{j}'}^{hh} + {}^2 G_{\bar{j}\bar{j}'}^{hh} \right) + \sum_{j' \in M_p} c_{j'}^e {}^2 G_{jj'}^{eh} &= F_{\bar{j}}^h; \\ \sum_{\bar{j}' \in \overline{M}_p} c_{\bar{j}'}^h {}^2 G_{\bar{j}\bar{j}'}^{he} + \sum_{j' \in M_p} c_{j'}^e {}^2 G_{jj'}^{ee} &= F_{\bar{j}}^e, \end{aligned} \quad (25)$$

где

$$\begin{aligned} F_{\bar{j}}^h &= 4\pi \int_S f(x) \psi_{\bar{j}}^h(x) dx; \quad F_{\bar{j}}^e = 4\pi \int_S f(x) \psi_{\bar{j}}^e(x) dx; \\ {}^1 G_{\bar{j}\bar{j}'}^{hh} &= \int_S \nabla \cdot \psi_{\bar{j}}^h(x) \int_S \frac{e^{i\beta|x-y|}}{|x-y|} \nabla \cdot \psi_{\bar{j}'}^h(y) dy dx; \\ {}^2 G_{\bar{j}\bar{j}'}^{hh} &= -\beta^2 \int_S \psi_{\bar{j}}^h(x) \int_S \frac{e^{i\beta|x-y|}}{|x-y|} \psi_{\bar{j}'}^h(y) dy dx; \\ {}^2 G_{\bar{j}\bar{j}'}^{he} &= -\beta^2 \int_S \psi_{\bar{j}}^e(x) \int_S \frac{e^{i\beta|x-y|}}{|x-y|} \psi_{\bar{j}'}^h(y) dy dx; \\ {}^2 G_{\bar{j}\bar{j}'}^{ee} &= -\beta^2 \int_S \psi_{\bar{j}}^e(x) \int_S \frac{e^{i\beta|x-y|}}{|x-y|} \psi_{\bar{j}'}^e(y) dy dx. \end{aligned} \quad (26)$$

Элементы $F_{\bar{j}}^{(h,e)}$, ${}^{(1,2)} G_{\bar{j}\bar{j}'}^{hh}$, ${}^2 G_{\bar{j}\bar{j}'}^{(eh,he)}$, ${}^2 G_{\bar{j}\bar{j}'}^{ee}$ уравнений (25) определяются при применении в (26) известных процедур численного интегрирования [23], предполагающих разбиение S на M треугольных элементов $\mathcal{T}^{(m)}$ ($m = \overline{0, M-1}$) при построении триангуляции Делоне, в основу формирования которой заложен алгоритм продвигаемого фронта [24], и задания в $\mathcal{T}^{(m)}$ двух пар узловых точек интегрирования $x^{mk} = (x_1^{mk}, x_2^{mk}, x_3^{mk}) \in \mathcal{T}^{(m)}$ и $\tilde{x}^{mk'} = (\tilde{x}_1^{mk'}, \tilde{x}_2^{mk'}, \tilde{x}_3^{mk'}) \in \mathcal{T}^{(m)}$ ($k = \overline{0, K}$; $k' = \overline{0, K-1}$):

$$\begin{aligned} F_{\bar{j}}^{(h,e)} &= 4\pi \sum_{m=0}^{M-1} S_m^\Delta \int_{\mathcal{T}^{(m)}} f(x) \psi_{\bar{j}}^{(h,e)}(x) D(x) dx \approx \\ &\approx 4\pi \sum_{m=0}^{M-1} S_m^\Delta \sum_{k=0}^K f(x^{mk}) \psi_{\bar{j}}^{(h,e)}(x^{mk}) D(x^{mk}) w_k; \end{aligned}$$

$$\begin{aligned}
{}^1G_{jj'}^{hh} &= \sum_{m=0}^{M-1} S_m^\Delta \int_{\mathcal{T}^{(m)}} \nabla \cdot \psi_j^h(x) D(x) \sum_{m'=0}^{M-1} S_{m'}^\Delta \int_{\mathcal{T}^{(m')}} \frac{e^{i\beta|x-y|}}{|x-y|} \nabla \cdot \psi_{j'}^h(y) D(y) dy dx \approx \\
&\approx \sum_{m=0}^{M-1} S_m^\Delta \sum_{k=0}^K \nabla \cdot \psi_j^h(x^{mk}) D(x^{mk}) w_k \cdot \\
&\quad \sum_{m'=0}^{M-1} S_{m'}^\Delta \sum_{k'=0}^{K-1} \frac{e^{i\beta|x^{mk}-\tilde{x}^{m'k'}|}}{|x^{mk}-\tilde{x}^{m'k'}|} \nabla \cdot \psi_{j'}^h(\tilde{x}^{m'k'}) D(\tilde{x}^{m'k'}) \tilde{w}_{k'}; \\
{}^2G_{jj'}^{hh} &= -\beta^2 \sum_{m=0}^{M-1} S_m^\Delta \int_{\mathcal{T}^{(m)}} \psi_j^h(x) D(x) \sum_{m'=0}^{M-1} S_{m'}^\Delta \int_{\mathcal{T}^{(m')}} \frac{e^{i\beta|x-y|}}{|x-y|} \psi_{j'}^h(y) D(y) dy dx \approx \\
&\approx -\beta^2 \sum_{m=0}^{M-1} S_m^\Delta \sum_{k=0}^K \psi_j^h(x^{mk}) D(x^{mk}) w_k \cdot \\
&\quad \sum_{m'=0}^{M-1} S_{m'}^\Delta \sum_{k'=0}^{K-1} \frac{e^{i\beta|x^{mk}-\tilde{x}^{m'k'}|}}{|x^{mk}-\tilde{x}^{m'k'}|} \psi_{j'}^h(\tilde{x}^{m'k'}) D(\tilde{x}^{m'k'}) \tilde{w}_{k'},
\end{aligned}$$

где S_m^Δ — площадь $\mathcal{T}^{(m)}$; $D(x) = \sqrt{1 + \left(\frac{\partial Z(x)}{\partial x_1}\right)^2 + \left(\frac{\partial Z(x)}{\partial x_2}\right)^2}$; $Z(x)$ — функция, характеризующая форму S ; $\tilde{x}^{m'k'}$ задаются через нули многочлена Чебышева, а x^{mk} — через нули многочлена Лежандра при определении соответствующих им $\tilde{w}_{k'}$, w_k весовым коэффициентам интегрирования [25].

Разделение положения точек интегрирования $\tilde{x}^{m'k'}$ и x^{mk} позволяет исключить появление сингулярности в случае, когда $\mathcal{T}^{(m)}$ и $\mathcal{T}^{(m')}$ являются смежными. Если $m = m'$ для исключения ситуации деления на нуль предлагается при вычислении

$$\begin{aligned}
{}^1G_{jj'}^m &= \int_{\mathcal{T}^{(m)}} \nabla \cdot \psi_j(x) D(x) \int_{\mathcal{T}^{(m)}} \frac{e^{i\beta|x-y|}}{|x-y|} \nabla \cdot \psi_{j'}(y) D(y) dy dx; \\
{}^2G_{jj'}^m &= \int_{\mathcal{T}^{(m)}} \psi_j(x) D(x) \int_{\mathcal{T}^{(m)}} \frac{e^{i\beta|x-y|}}{|x-y|} \psi_{j'}(y) D(y) dy dx,
\end{aligned}$$

преобразовывать интеграл по dy в локальную относительно $\mathcal{T}^{(m)}$ полярную систему координат с центром в x [26]. В таком представлении

получим:

$${}^1G_{jj'}^m = \int_{\mathcal{T}^{(m)}} \nabla \cdot \psi_j(x) D(x) \sum_{l=0}^2 \int_{\varphi_l^m}^{\varphi_{l+1}^m} r_l(\varphi) \int_0^\infty e^{i\beta\rho} \nabla \cdot \psi_{j'}(y(\varphi, \rho)) D(y(\varphi, \rho)) d\rho d\varphi dx;$$

$${}^2G_{jj'}^m = \int_{\mathcal{T}^{(m)}} \psi_j(x) D(x) \sum_{l=0}^2 \int_{\varphi_l^m}^{\varphi_{l+1}^m} r_l(\varphi) \int_0^\infty e^{i\beta\rho} \psi_{j'}(y(\varphi, \rho)) D(y(\varphi, \rho)) d\rho d\varphi dx,$$

где $\varphi_l^m = \arctg [(x_2^{ml} - x_2) / (x_1^{ml} - x_1)]$; $y(\rho, \varphi) = (\rho \cos \varphi + x_1, \rho \sin \varphi + x_2, Z) \in S$; $r_l(\varphi) = R_l' / \cos(\varphi - \varphi_l)$; $\varphi_l = \arctg [(x_2^{ml} - x_2) / (x_1^{ml} - x_1)]$;
 $x^{jml} = \left(\frac{b_l^m d_l^m - a_l^m c_l^m}{(a_l^m)^2 + (b_l^m)^2}, \frac{-a_l^m d_l^m - b_l^m c_l^m}{(a_l^m)^2 + (b_l^m)^2} \right)$; $a_l^m = x_2^{ml_1} - x_2^{ml}$; $b_l^m = x_1^{ml_1} - x_1^{ml}$;
 $c_l^m = x_1^{ml_1} x_2^{ml} - x_2^{ml_1} x_1^{ml}$; $d_l^m = b_l^m x_1 - a_l^m x_2$; $l_1 = l + 1 \pmod 3$; $R_l' = |x^{jml} - x|$;
 $x^{ml} = (x_1^{ml}, x_2^{ml})$ – l -я вершина m -го треугольника $\mathcal{T}^{(m)}$.

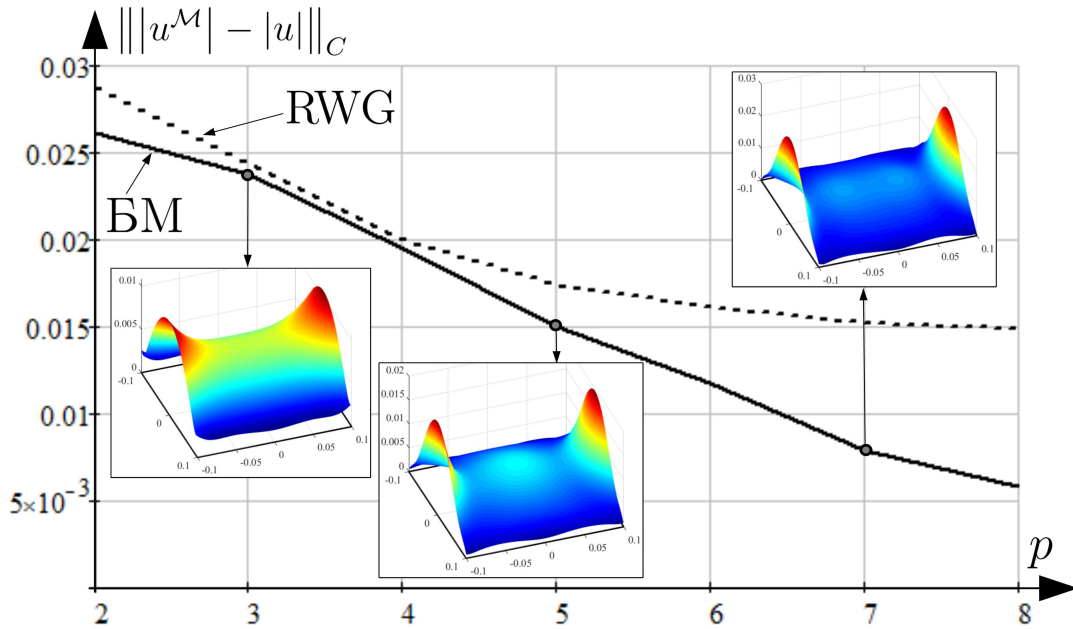


Рис. 1. Зависимость $\| |u^M| - |u| \|_C$ от p при расчете u на прямоугольном экране $\lambda \times \lambda$ БМ и методом RWG

Для наглядной демонстрации предпочтительности применения БМ в численном решении задач дифракции на проводящих тонких экранах произвольной формы в сравнении с известными методами [4, 20, 26], предполагающими аппроксимацию u базисными функциями RWG , в САПР Mathcad проведены расчеты для двух тестовых задач. Первая состоит в определении u на плоском бесконечно тонком и идеально проводящем прямоугольном экране размера $\lambda \times \lambda$ (λ – длина волны). Вторая тестовая задача заключается в определении u на поверхности плоского бесконечно тонкого и идеально проводящего экрана, заданного пятью вершинами: $P_0 = (\lambda, \lambda, 0)$, $P_1 = (-\lambda, \lambda, 0)$, $P_2 = (-1,5\lambda, -1,25\lambda, 0)$,

$P_3 = (0, -0,25\lambda, 0)$, $P_4 = (2\lambda, -\lambda, 0)$. Возбуждение u в тестовых задачах выполняется плоской электромагнитной волной $E^0 = (1, 0, 0)$. Апостериорная оценка сходимости БМ проведена при изменении p . При этом число базисных функций RWG для фиксированного p и Ω задавалось равным $\|\overline{M}_p\|$. На рисунках 1 и 2 приведены результаты ошибки расчета модуля плотности тока $|u| = |\sqrt{u_1\bar{u}_1 + u_2\bar{u}_2 + u_3\bar{u}_3}|$ на S для первой тестовой задачи БМ и методом RWG от p по нормам $\| |u^{\mathcal{M}}| - |u| \|_C = \max_{x \in S} | |u^{\mathcal{M}}(x)| - |u(x)| |$ и $\| |u^{\mathcal{M}}| - |u| \|_{L_2} = \left(\int_S (|u^{\mathcal{M}}(x)| - |u(x)|)^2 dx \right)^{1/2}$ соответственно. На рисунках 3 и 4 приведены результаты ошибки расчета $|u|$ на S для второй тестовой задачи БМ и методом RWG от p по аналогичным нормам.

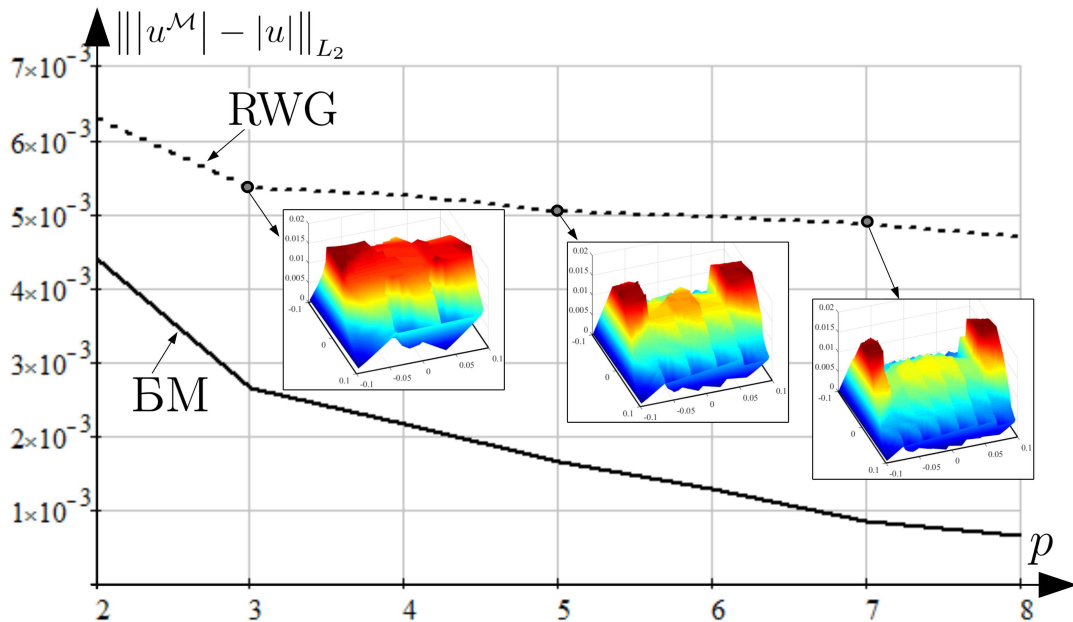


Рис. 2. Зависимость $\| |u^{\mathcal{M}}| - |u| \|_{L_2}$ от p при расчете u на прямоугольном экране $\lambda \times \lambda$ БМ и методом RWG

Заключение

В целом, сформированное решение (13) задачи (3) дифракции электромагнитных волн на экранах произвольной формы барицентрическим методом и установленная апостериорная оценка сходимости (14), с учетом представленных результатов тестовых расчетов (рис. 1–4), определяют предпочтительность БМ в сравнении с известными сеточными методами. Указанные особенности алгоритмической реализации составляют правила корректного численного вычисления интегралов вида (26). Для повышения вычислительной устойчивости при определении элементов ${}^1G_{jj}^{hh}$ следует при расчете $\nabla \cdot \psi_j^h$ использовать

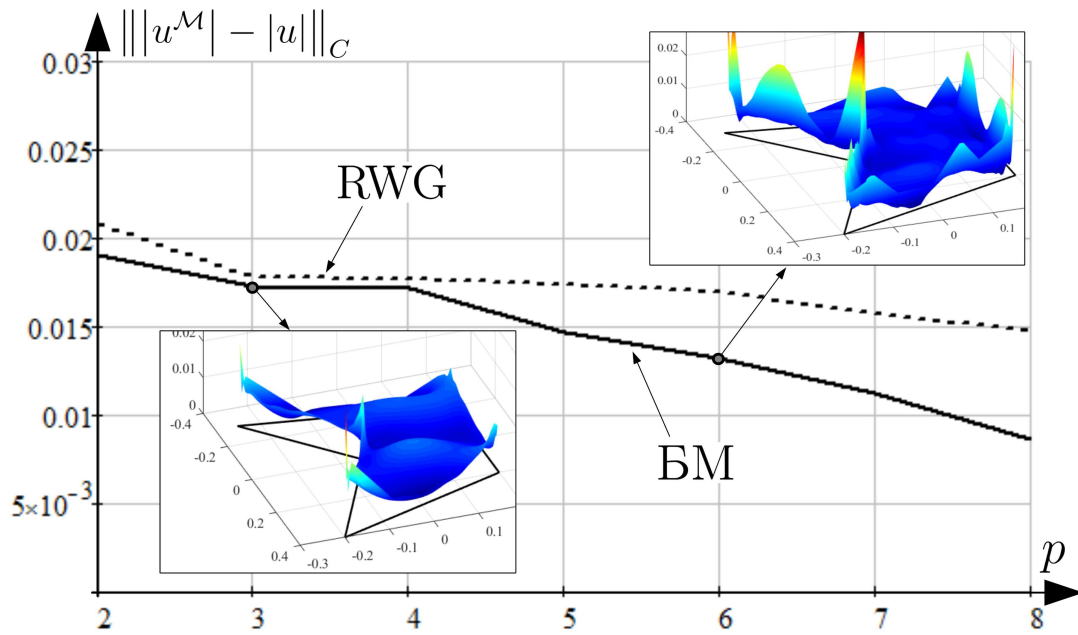


Рис. 3. Зависимость $\| |u^{\mathcal{M}}| - |u| \|_C$ от p при расчете u на экране сложной формы БМ и методом RWG

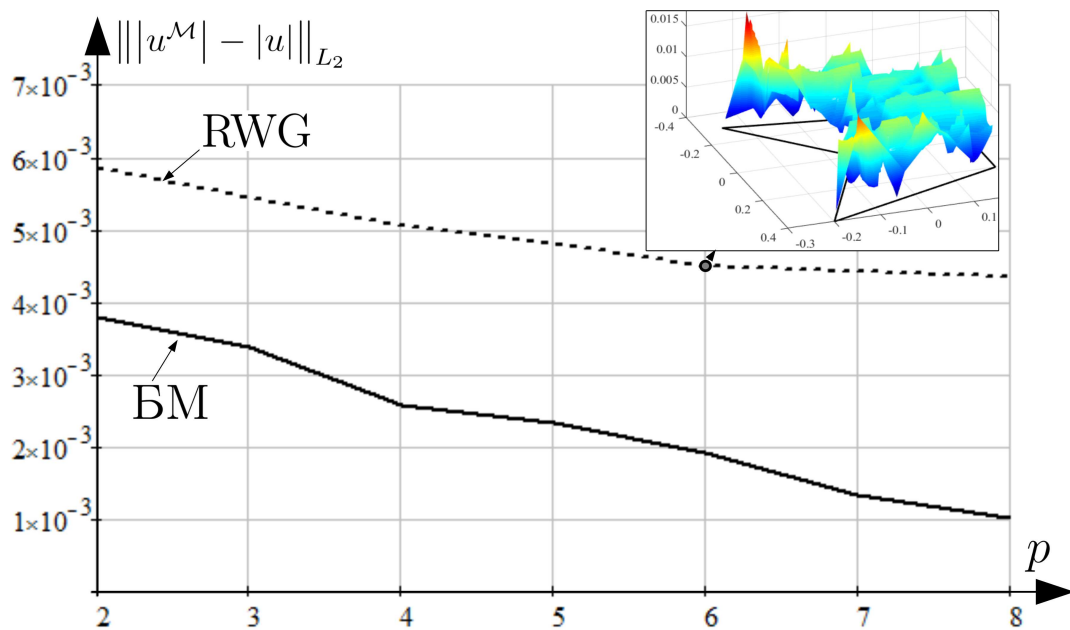


Рис. 4. Зависимость $\| |u^{\mathcal{M}}| - |u| \|_{L_2}$ от p при расчете u на экране сложной формы БМ и методом RWG

тождество (22). С целью снижения вычислительных затрат алгоритмической реализации при определении матриц \mathbf{A}^h и \mathbf{A}^e необходимо уточнять правила чередования элементов \bar{j} и j множеств мультииндексов $\bar{\mathbb{M}}_p$ и \mathbb{M}_p , учитывая тот факт, что все элементы матриц \mathbf{B}^e , \mathbf{C}^e входят в состав соответствующих матриц \mathbf{B}^h , \mathbf{C}^h .

Литература

1. *Ilyinsky A. S., Smirnov Y. G.* Electromagnetic Wave Diffraction by Conducting Screens, VPS, Utrecht, The Netherlands, 1998.
2. *Ufimtsev P. Ya.* Fundamentals of the Physical Theory of Diffraction. Second edition., John Wiley & Sons Inc., Hoboken, New Jersey, USA, 2014. – 329 p.
3. *Kouyoumjian R. G., Pathak P.H.* A uniform geometrical theory of diffraction for an edge in a perfectly conducting surface // Proceedings of the IEEE – 1974. – Volume: 62, Issue: 11. – P. 1448–1461.
4. *Gibson W.C.* The method of moments in electromagnetics: second Edition. – N.-Y.: Chapman and Hall/CRC, 2014. – 450 p.
5. *Смирнов Ю.Г., Медведик М.Ю., Максимова М.А.* Решение задачи дифракции электромагнитной волны на экранах сложной формы // Известия высших учебных заведений. Поволжский регион. Физико-математические науки. – 2012. – №4 (24). – С. 59–72.
6. *Assier R. C., Shanin A. V.* Diffraction by a quarter-plane. Analytical continuation of spectral functions // The Quarterly Journal of Mechanics and Applied Mathematics. – 2019. – V. 72. – P. 51–85.
7. *Kurkchan A. G., Smirnova N.I.* Mathematical modeling in diffraction theory. 1st Edition. – 280 p.
8. *Полянский И.С.* Барицентрический метод в вычислительной электродинамике. – Орёл : Академия ФСО России, 2017. – 148 с.
9. *Полянский И.С.* Барицентрический метод в задаче оптимального управления формой отражающей поверхности зеркальной антенны // Математическое моделирование. 2017. Т. 29. №11. С. 140–150.
10. *Полянский И.С.* Векторный барицентрический метод в вычислительной электродинамике // Труды СПИИРАН. 2017. № 2(51). С. 206–222.
11. *Полянский И.С., Пехов Ю.С.* Барицентрический метод в решении сингулярных интегральных уравнений электродинамической теории зеркальных антенн // Труды СПИИРАН. 2017. № 5(54). С. 244–262.
12. *Полянский И.С.* О применении барицентрического метода в численном решении внутренней задачи электродинамики // Физика волновых процессов и радиотехнические системы. 2018. № 3(21). С. 36–42.
13. *Хёнл Х., Мауэ А., Вестпфаль К.* Теория дифракции. Пер. с англ. под общ. ред. Г.Д. Малюжница. – Москва : Мир, 1964. – 428 с.

14. *Ильинский А. С., Полянский И. С.* Приближенный метод определения гармонических барицентрических координат для произвольных многоугольников // Журнал вычислительной математики и математической физики. 2019. №3(59). С. 38–55.
15. *Канторович Л. В., Крылов В. И.* Приближенные методы высшего анализа. Изд. 3-е. – Москва : Гостехиздат, 1950. – 695 с.
16. *Флетчер К.* Численные методы на основе метода Галёркина. Пер. с англ. – Москва : Мир, 1988. – 352 с.
17. *Гончаров В. Л.* Теория интерполирования и приближения функций. Изд. 2-е перераб. – Москва : Гостехиздат, 1954. – 327 с.
18. *Смирнов Ю. Г.* О сходимости методов Галеркина для уравнений с операторами, эллиптическими на подпространствах, и о решении уравнения электрического поля // Журнал вычислительной математики и математической физики. 2007. №1(47). С. 129–139.
19. *Даугавет И. К.* Теория приближенных методов. Линейные уравнения. – 2-е изд., перераб. и доп. – СПб : БХВ-Петербург, 2006. – 288 с.
20. *Медведик М. Ю., Смирнов Ю. Г.* Эллиптичность интегрального уравнения электрического поля для поглощающих сред и сходимость метода Рао–Уилтона–Глиссона // Журнал вычислительной математики и математической физики. 2014. №1(54). С. 105–113.
21. *Трибель Х.* Теория интерполяции, функциональные пространства, дифференциальные операторы. – Москва : Мир, 1980. – 664 с.
22. *Красносельский М. А., Вайникко Г. М., Забрейко П. П., Рунцицкий Я. Б., Стеценко В. Я.* Приближенное решение операторных уравнений. – Москва : Наука, 1969. – 455 с.
23. *Архипов Н. С., Полянский И. С., Степанов Д. Е.* Представление отражающих поверхностей антенной системы в задачах анализа и синтеза зеркальных антенн методами физической оптики // Телекоммуникации. 2014. №7. С. 15–21.
24. *Василевский Ю. В., Данилов А. А., Липников К. Н., Чугунов В. Н.* Автоматизированные технологии построения неструктурированных расчетных сеток. – Москва : ФизМатЛит, 2016. – 216 с.
25. *Taylor M. A., Wingate B. A., Bos L. P.* Several new quadrature formulas for polynomial integration in the triangle, Report-no: SAND2005-0034J, <http://xyz.lanl.gov/format/math.NA/0501496>.

26. *Cai W., Yijun Yu., Yuan X. C.* Singularity treatment and high-order RWG basis functions for integral equations of electromagnetic scattering // International journal for numerical methods in engineering. 2002. vol. 53. P. 31–47.
27. *Ильинский А. С., Полянский И. С., Степанов Д. Е.* О сходимости барицентрического метода в решении внутренних задач Дирихле и Неймана в \mathbb{R}^2 для уравнения Гельмгольца // Вестник удмуртского университета. Математика. Механика. Компьютерные науки. 2021. Т. 31. №1.
28. *Малых М. Д.* О нормальных модах закрытого волновода с разрывным заполнением // Вестник Российского университета дружбы народов: Серия Математика, информатика, физика. 2018. Т. 26, № 4. С. 321–330.
29. *Вайникко Г. М.* Асимптотические оценки погрешности проекционных методов в проблеме собственных значений // Журнал вычислительной математики и математической физики. 1964. №3(4). С. 405–425.
30. *Самарский А. А., Тихонов А. Н.* О возбуждении радиоволноводов. I // Журнал технической физики. – 1947. – Т. 17, № 11. – С. 1283–1296.
31. *Боголюбов А. Н., Малых М. Д., Панин А. А.* Двусторонние оценки собственных значений задачи Дирихле для оператора Лапласа и их применение в задачах математической теории волноводов // Вычислительные методы и программирование: Новые вычислительные технологии. – 2009. – Т. 10. – С. 83–93.